

Elektroschwache NLL-Zweischleifenkorrekturen mit masselosen und massiven Fermionen

Bernd Jantzen

Paul Scherrer Institut (PSI), CH-Villigen

In Zusammenarbeit mit **A. Denner** und **S. Pozzorini**

- I Elektroschwache Strahlungskorrekturen bei hohen Energien
- II Nächsthöhere logarithmische (NLL) Zweischleifenkorrekturen
- III Ergebnis für masselose und massive fermionische Prozesse
- IV Zusammenfassung & Ausblick

I Elektroschwache Strahlungskorrekturen bei hohen Energien

Elektroschwache Beschleunigerphysik

- bis heute (LEP, Tevatron) bei Energieskalen $\lesssim M_{W,Z}$
- zukünftige Beschleuniger (LHC, ILC) \rightarrow erreichen **TeV**-Bereich
 \hookrightarrow Energien $\sqrt{s} \gg M_W$ werden erstmals zugänglich!

Strahlungskorrekturen bei Energien $\sqrt{s} \gg M_W$

\Rightarrow verstärkt durch große **Sudakov-Logarithmen**

$$\text{pro Schleifenordnung: } \ln^2 \left(\frac{s}{M_W^2} \right) \sim 25 \quad \text{bei } \sqrt{s} \sim 1 \text{ TeV}$$

$M_{W,Z} \neq 0 \rightarrow$ **exklusive** Observablen möglich: nur **virtuelle** W's und Z's
 (\neq QED: singuläre Logs zwischen virtuellen und reellen Korrekturen kompensiert)

Form der Korrekturen für $s \gg M_W^2$

$$\left[L = \ln \left(\frac{s}{M_W^2} \right) \right]$$

↪ logarithmische Näherung, Sudakov-Näherung:

1 Schleife: $\alpha \left[C_1^{\text{LL}} L^2 + C_1^{\text{NLL}} L + C_1^{\text{N}^2\text{LL}} \right] + \mathcal{O} \left(\frac{M_W^2}{s} \right)$

$\downarrow \qquad \qquad \downarrow \qquad \qquad \downarrow$
 $-17\% \quad +12\% \quad -3\%$

2 Schleifen: $\alpha^2 \left[C_2^{\text{LL}} L^4 + C_2^{\text{NLL}} L^3 + C_2^{\text{N}^2\text{LL}} L^2 + C_2^{\text{N}^3\text{LL}} L + C_2^{\text{N}^4\text{LL}} \right] + \mathcal{O} \left(\frac{M_W^2}{s} \right)$

$\downarrow \qquad \qquad \downarrow \qquad \qquad \downarrow \qquad \qquad \downarrow$
 $+1.7\% \quad -1.8\% \quad +1.2\% \quad -0.3\%$

$[\sigma(u\bar{u} \rightarrow d\bar{d}) @ \sqrt{s} = 1 \text{ TeV}, \text{ B.J., Kühn, Penin, Smirnov '05}]$

Für theoretische Vorhersagen mit Genauigkeit $\sim 1\%$:

⇒ Zweischleifenkorrekturen wichtig

⇒ LL-Näherung nicht ausreichend

Mit masselosen Photonen: $\text{Log} \rightsquigarrow 1/\epsilon$ in $D = 4 - 2\epsilon$ Dimensionen

Virtuelle elektroschwache Zweischleifenkorrekturen

Resummation des Einschleifenergebnisses:

- LL & NLL für beliebige Prozesse ($M_Z = M_W$) Fadin, Lipatov, Martin, Melles '99;
Melles '00, '01
- N²LL für $f\bar{f} \rightarrow f'\bar{f}'$ ($m_f = 0$, $M_Z = M_W$) Kühn, Penin, Smirnov '99, '00;
Kühn, Moch, Penin, Smirnov '01
- N²LL für $e^+e^- \rightarrow W^+W^-$ Kühn, Metzler, Penin '07
- SCET-Methode Chiu, Golf, Kelley, Manohar '07

→ Evolutionsgleichungen anwenden auf spontan gebrochenes Standardmodell

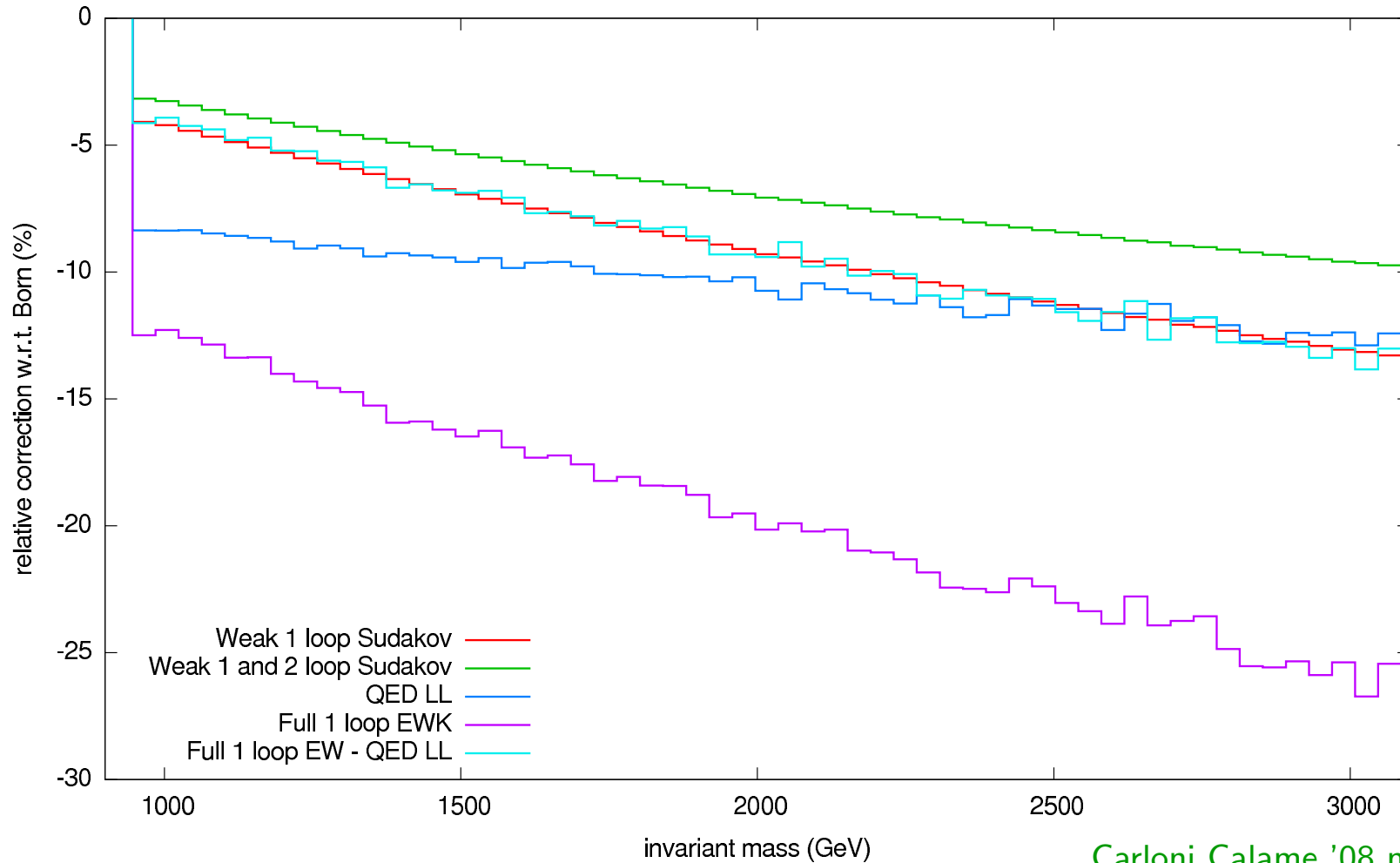
↪ Annahme: Aufteilung in **symmetrische SU(2)×U(1)-Phase** und **QED-Phase** möglich

Diagrammatische Zweischleifenrechnungen → Resummation überprüfen:

- LL & winkelabhängige NLLs für beliebige Prozesse Melles '00; Hori, Kawamura, Kodaira '00;
Beenakker, Werthenbach '00, '01;
Denner, Melles, Pozzorini '03
- NLL für fermionische Prozesse ($m_f = 0$, $M_Z \neq M_W$) Pozzorini '04;
Denner, B.J., Pozzorini '06
- N³LL für fermionischen Formfaktor ($m_f = 0$, $M_Z = M_W$)
 ↪ N³LL for $f\bar{f} \rightarrow f'\bar{f}'$ ($m_f = 0$, $M_Z \approx M_W$) via Evolutionsgleichungen
B.J., Kühn, Moch '03; B.J., Kühn, Penin, Smirnov '04, '05

Elektroschwache Korrekturen am LHC

Drell-Yan $pp \rightarrow \mu^+ \mu^- + X$: (elektro)schwache 1- & 2-Schleifenkorrekturen



Carloni Calame '08 mit HORACE
und Sudakov-Ergebnissen aus
B.J., Kühn, Penin, Smirnov '05

⇒ Sudakov-Näherung sehr gut bei hohen Energien

⇒ Zweischleifeneffekte im %-Bereich

II NLL-Zweischleifenkorrekturen

Ziel: virtuelle elektroschwache NLL-Zweischleifenkorrekturen für beliebige Prozesse
zunächst: Prozesse mit masselosen & massiven Fermionen

Parameter:

- verschiedene große kinematische Invarianten $r_{ij} = (p_i + p_j)^2 \sim Q^2 \gg M_W^2$
- verschiedene schwere Teilchenmassen $M_W^2 \sim M_Z^2 \sim m_t^2 \sim M_{\text{Higgs}}^2$
- massive (Top-Quark) and masselose Fermionen

\Rightarrow Logs $L = \ln \left(\frac{Q^2}{M_W^2} \right)$ und $\frac{1}{\epsilon}$ -Pole (von virtuellen Photonen)

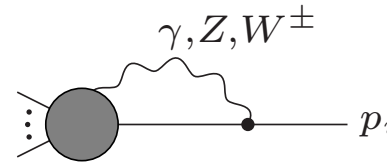
1 Schleife: LL $\rightarrow \epsilon^{-2}, L\epsilon^{-1}, L^2, L^3\epsilon, L^4\epsilon^2$; NLL $\rightarrow \epsilon^{-1}, L, L^2\epsilon, L^3\epsilon^2$

2 Schleifen: LL $\rightarrow \epsilon^{-4}, L\epsilon^{-3}, L^2\epsilon^{-2}, L^3\epsilon^{-1}, L^4$; NLL $\rightarrow \epsilon^{-3}, L\epsilon^{-2}, L^2\epsilon^{-1}, L^3$

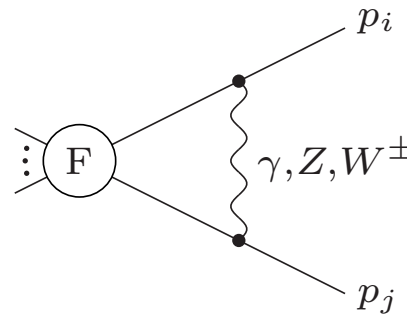
\Rightarrow NLL-Koeffizienten \rightarrow kleine Logs $\ln \left(\frac{-r_{ij}}{Q^2} \right)$ und $\ln \left(\frac{M_Z^2, m_t^2}{M_W^2} \right)$

Extraktion der NLL-Logs in Einschleifennäherung

Logs u.a. aus Massensingularitäten
in **kollinearen/soften** Regionen:



Isoliere **faktorisiere** Beiträge:



↪ trenne Schleifenintegral von Born-Diagramm \textcircled{F} durch **soft-kollineare** Näherung

Übrige nicht-faktorisierbare Beiträge: **kollineare Ward-Identitäten**

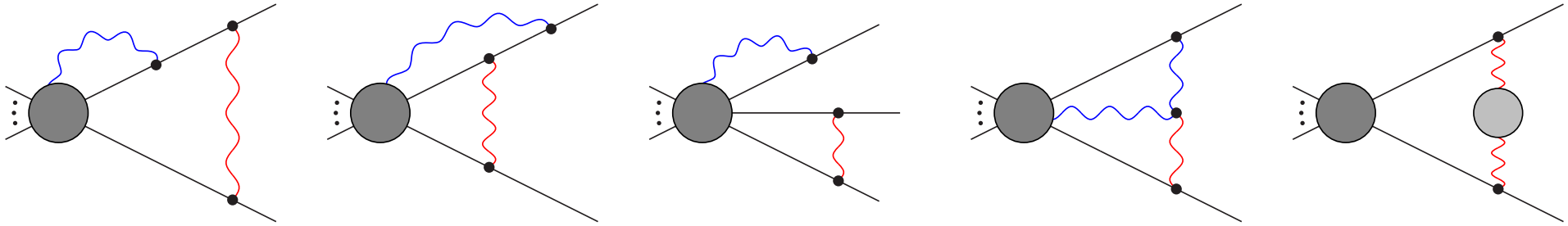
Denner, Pozzorini '01

$$\text{Born}(i) - \text{Born}(i) - \sum_{j \neq i} \textcircled{F}(i, j) = 0$$

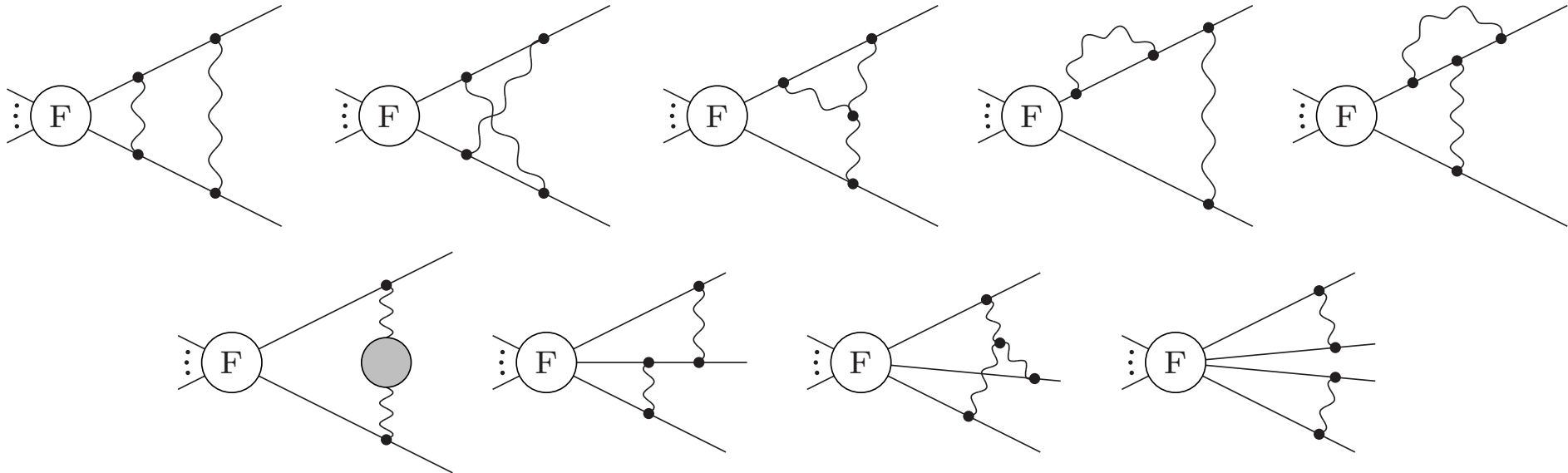
Faktorisiere Beiträge enthalten alle **soften & kollinearen** NLL-Massensingularitäten.

Extraktion der NLL-Logs in Zweischleifennäherung

↪ Beiträge: **soft** × **soft** und **soft** × **kollinear** (ohne Yukawa-Beiträge):



Faktorisierebare Beiträge:

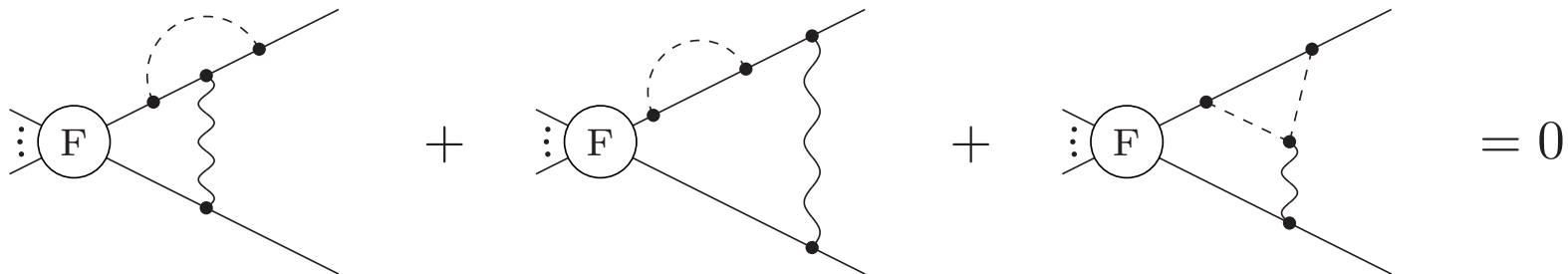


- berechnet mit **soft-kollinear**er Näherung (und Projektionstechniken)
- nicht-faktorisierebare Beiträge verschwinden

Yukawa-Beiträge

Massive Fermionen \rightarrow Yukawa-Kopplungen an Skalare (Higgs, Goldstone-Bosonen)

- viele Yukawa-Beiträge unterdrückt (softer/kollinearer Limes, $M_W^2/Q^2 \rightarrow 0$)
- nur drei nicht-unterdrückte Diagramme mit mehreren externen Beinen:



Summe verschwindet wegen **Eichinvarianz der Yukawa-Kopplung**

\hookrightarrow NLL-Yukawa-Beiträge nur in Feldstärke-Renormierung

III Ergebnis für masselose und massive fermionische Prozesse

Faktorisierte Beiträge

Schleifenintegrale berechnet mit zwei unabhängigen Methoden:

- automatisierter Algorithmus basierend auf **Sektorzerlegung** Denner, Pozzorini '04
- Kombination von **Expansion by Regions & Mellin-Barnes-Darstellungen** B.J., Smirnov '06 & dortige Referenzen

Ergebnis für Amplitude fermionischer Prozesse $f_1 f_2 \rightarrow f_3 \cdots f_n$ in $\mathcal{O}(\alpha^2)$

$$\mathcal{M} \stackrel{\text{NLL}}{=} \underbrace{\exp\left(\frac{1}{2} \sum_{\substack{i=1 \\ j \neq i}}^n \delta_{ij}^{\text{sem}}\right)}_{\text{elektromagnetisch}} \underbrace{\exp\left(\frac{1}{2} \sum_{\substack{i=1 \\ j \neq i}}^n \delta_{ij}^{\text{sew}}\right)}_{\substack{\text{symmetrisch-elektroschwach} \\ M_\gamma = M_Z = M_W}} \underbrace{\left(1 + \frac{1}{2} \sum_{\substack{i=1 \\ j \neq i}}^n \delta_{ij}^{\text{Z}}\right)}_{\text{von } M_Z \neq M_W} \underbrace{\mathcal{M}_0}_{\text{Born}}$$

- **universelles** Ergebnis: δ_{ij}^{sew} , δ_{ij}^{sem} , δ_{ij}^{Z} nur von externen Quantenzahlen abhängig
- elektromagnetische Singularitäten (δ_{ij}^{sem}) faktorisiert \rightarrow separierbar

Symmetrisch-elektroschwache Terme: unabhängig von Fermionmassen

$$\delta_{ij}^{\text{sew}} = -\frac{\alpha}{4\pi} \sum_{V=B,W^a} I_i^{\bar{V}} I_j^V I_{ij}(\epsilon, M_W) - \frac{\alpha^2}{(4\pi)^2} \left(\frac{g_1^2}{e^2} \frac{Y_i Y_j}{4} b_1^{(1)} + \frac{g_2^2}{e^2} T_i^a T_j^a b_2^{(1)} \right) J_{ij}(\epsilon, M_W, \mu^2),$$

$$I_{ij}(\epsilon, M_W) = -L^2 - \frac{2}{3} L^3 \epsilon - \frac{1}{4} L^4 \epsilon^2 + \left[\frac{3}{2} - \ln\left(\frac{-r_{ij}}{Q^2}\right) - \underbrace{\frac{y_i^{\kappa_i}}{C_i^{\text{ew}}} \frac{g_2^2 m_t^2}{8e^2 M_W^2}}_{\text{Yukawa-Term}} \right] \left(2L + L^2 \epsilon + \frac{1}{3} L^3 \epsilon^2 \right),$$

$$J_{ij}(\epsilon, M, \mu^2) = \frac{1}{\epsilon} \left[I_{ij}(2\epsilon, M) - \left(\frac{Q^2}{\mu^2} \right)^\epsilon I_{ij}(\epsilon, M) \right]$$

Elektromagnetische Terme: QED($M_\gamma = 0$) – QED($M_\gamma = M_W$) [$\mu^2 = M_W^2$]

$$\delta_{ij}^{\text{sem}} = -Q_i Q_j \left\{ \frac{\alpha}{4\pi} \left[I_{ij}(\epsilon, 0) - I_{ij}(\epsilon, M_W) \right] + \frac{\alpha^2}{(4\pi)^2} b_{\text{QED}}^{(1)} \left[J_{ij}(\epsilon, 0, M_W^2) - J_{ij}(\epsilon, M_W, M_W^2) \right] \right\},$$

$$I_{ij}(\epsilon, 0) = - \left(2\epsilon^{-2} + 3\epsilon^{-1} \right) \left(\frac{-r_{ij}}{Q^2} \right)^{-\epsilon} + \left(\epsilon^{-2} + \frac{1}{2} \epsilon^{-1} \right) \underbrace{\left[\left(\frac{m_i^2}{Q^2} \right)^{-\epsilon} + \left(\frac{m_j^2}{Q^2} \right)^{-\epsilon} \right]}_{\text{Fermionmassen-Abhängigkeit}}$$

Terme von $M_Z \neq M_W$:

$$\delta_{ij}^Z = -\frac{\alpha}{4\pi} I_i^Z I_j^Z \ln\left(\frac{M_Z^2}{M_W^2}\right) (2L + 2L^2 \epsilon + L^3 \epsilon^2)$$

V Zusammenfassung & Ausblick

Masselose und massive fermionische Prozesse $f_1 f_2 \rightarrow f_3 \cdots f_n$

mit $(p_i + p_j)^2 \gg M_W^2$ und verschiedenen Massen $M_W^2 \sim M_Z^2 \sim m_{\text{top}}^2 \sim M_{\text{Higgs}}^2$:

- **elektroschwache NLL-Zweischleifenkorrekturen** in $D = 4 - 2\epsilon$ Dimensionen
 $[m_f = 0$: Denner, B.J., Pozzorini, Nucl. Phys. B 761 (2007) 1]
- faktorisierbare Beiträge mit zwei unabhängigen Methoden berechnet:
 1.) **Sektorzerlegung**, 2.) **Expansion by Regions & Mellin-Barnes**
- nicht-faktorisierbare Beiträge verschwinden (kollineare Ward-Identitäten)
- Yukawa-Beiträge nur in Feldstärke-Renormierung
- **universelle Korrekturfaktoren**, elektromagnetische Singularitäten separierbar
- anwendbar für $e^+ e^- \rightarrow f \bar{f}$, Drell-Yan, ...

Ausblick: NLL-Zweischleifenkorrekturen für beliebige Prozesse

- Verallgemeinerung der Methode für externe Eichbosonen & Skalare
- Berechnung der nötigen Schleifenintegrale
- Ziel: Prozess-unabhängige NLL-Zweischleifenkorrekturen